

Luiz Guilherme Matta - 11217430  
Experimento 3 - Corda Vibrante

## Introdução

Uma onda estacionária na corda é formada a partir de uma interferência construtiva entre a onda incidente em uma das extremidades e a onda refletida na outra extremidade, ou seja, quando há a formação de um modo normal de vibração. Neste experimento, a onda incidente é formada por um vibrador acoplado a uma das extremidades vibrando na frequência de 32 Hz, enquanto a outra extremidade é presa a uma massa variável.

Medindo-se as massas ( $m$ ) com as quais se obtém de 2 a 6 nós na corda, grafica-se  $m \times p^{-1}$  e  $m \times L$  para determinar os expoentes  $x$  e  $n$ , respectivamente, da equação da força de distensão da corda.

## Metodologia

Fixou-se a soldana e o vibrador em uma superfície, cada um em uma extremidade. Amaneceu-se o fio mais grosso e manteve-se um comprimento  $L$  de 1,5 metros, além de que ajustou-se o vibrador para 32 Hz.

Determinou-se os valores de massa  $m$  para os quais se obtiveram ondas estacionárias com número de nós variando de 2 a 6. Anotou-se os valores de  $p$ ,  $p-1$  e  $m$ .

Variou-se com comprimento  $L$  para 1,25 m, 1,00 m, 0,75 m e 0,50 m. Determinou-se os valores para os quais os 3 nós foram obtidos.

Repetiu-se os procedimentos anteriores para os outros 2 fios, determinando os valores de  $\mu$ .

## Resultados e discussões

- Cálculo do Exponente  $X$ :

$$F = \frac{4 \cdot \mu \cdot L^n \cdot f^2}{(p-1)^X} \rightarrow \log F = \log(p-1)^{-X} + \log(4 \cdot \mu \cdot L^n \cdot f^2)$$
$$\log F = -X \log(p-1) + \log(4 \cdot \mu \cdot L^n \cdot f^2)$$

Portanto,  $-X$  é o coeficiente angular do gráfico  $\log m \times \log(p-1)$ .

- Cálculo do Exponente  $n$ :

$$F = \frac{4 \cdot \mu \cdot L^n \cdot f^2}{(p-1)^X} \rightarrow \log F = \log L^n + \log\left(\frac{4 \cdot \mu \cdot f^2}{(p-1)^X}\right)$$
$$\log F = n \log L + \log\left(\frac{4 \cdot \mu \cdot f^2}{(p-1)^X}\right)$$

Portanto,  $n$  é o coeficiente angular.

Fio	$X$	$n$
1	2,0161	1,9916
2	2,0169	2,2874
3	2,0365	2,552

Tabela 4: valores referentes a  $X$  e  $n$ .

A partir desses valores pode-se observar que o fio 1 possui boa precisão, já que seu  $X$  e  $n$  estão próximos de 2, enquanto o fio 2 apenas se aproxima de 2 em seu  $X$ , já o fio 3 é o menos preciso dentre os fios estudados.

- Cálculo do  $\mu$  experimental:

$$\mu = \frac{m}{l}$$

$$\mu = \frac{1,218 \cdot 10^{-3}}{1,855} = 6,518 \cdot 10^{-4} \text{ Kg/m}$$

$$\mu_2 = \frac{6,605 \cdot 10^{-4}}{1,845} = 3,5799 \cdot 10^{-4} \text{ Kg/m} //$$

$$\mu_3 = \frac{4,039 \cdot 10^{-4}}{1,945} = 2,0766 \cdot 10^{-4} \text{ Kg/m} //$$

Dada a equação  $F = \frac{4\mu \cdot L^n \cdot f^2}{(p-1)^x}$ , podemos concluir que:

$$m \cdot g = \frac{4\mu L^n f^2}{(p-1)^x}; \quad m = \frac{4\mu L^n f^2}{(p-1)^x \cdot g}; \quad \log m = -x \log(p-1) + \log \frac{4\mu L^n f^2}{g}$$

Logo, o coeficiente linear dos gráficos 1, 2 e 3 podem ser obtido por  $\log \frac{4\mu L^n f^2}{g}$

• Cálculo da frequência para o fio 1:

$$2,597 = \log \left( \frac{4 \cdot 6,0118 \cdot 10^{-1}}{9,8} \cdot 1,5^{2,9916} \cdot f^2 \right)$$

$$f = 26,8 \text{ Hz} //$$

• Cálculo de  $\mu_2$  e  $\mu_3$  experimental:

$$2,3785 = \log \left( \frac{4 \cdot \mu_2 \cdot 1,5^{2,2874}}{9,8} \cdot 26,8^2 \right)$$

$$2,1183 = \log \left( \frac{4 \cdot \mu_3 \cdot 1,5^{2,552}}{9,8} \cdot 26,8^2 \right)$$

$$\mu_2 = 0,322 \text{ g/m} //$$

$$\mu_3 = 0,159 \text{ g/m} //$$

Observa-se que, apesar de uma diferença entre os valores de  $\mu$  teórico e experimental, os mesmos não possuem grande alteração entre si, logo, a diferença pode ser causada por imprecisão humana.

### Conclusão

Com este experimento pode-se estudar de forma mais profunda as ondas estacionárias, além de estudar também os efeitos consequentes da variação do comprimento da corda e da massa presa a ele.

Também pode-se observar que o fio 1 era o mais preciso dentre os outros, visto que seus valores de  $X$  e  $\lambda$  eram os mais próximos do esperado.

massa do suporte 7g      incerteza da trena ± 0,005 m      incerteza da balança digital ± 1 g      incerteza da balança analítica ± 0,0001 g      frequência utilizada 30 Hz

**1ª parte**

**Tabela 1 - valores de massa para L fixo = 1,50 m**

p	p-1	M (g) *		
		fio 1	fio 2	fio 3
2	1	369	218	130
3	2	107	64	34
4	3	45	30	13
5	4	25	15	8
6	5	14	8	5

\* já adicionado o valor da massa do suporte

**2ª parte**

**Tabela 2- valores de massa para p fixo = 3**

L (m)	M (g) *		
	fio 1	fio 2	fio 3
1,50	107	64	34
1,25	70	36	18
1,00	38	27	12
0,75	23	12	5
0,50	12	5	2

\* já adicionado o valor de massa do suporte

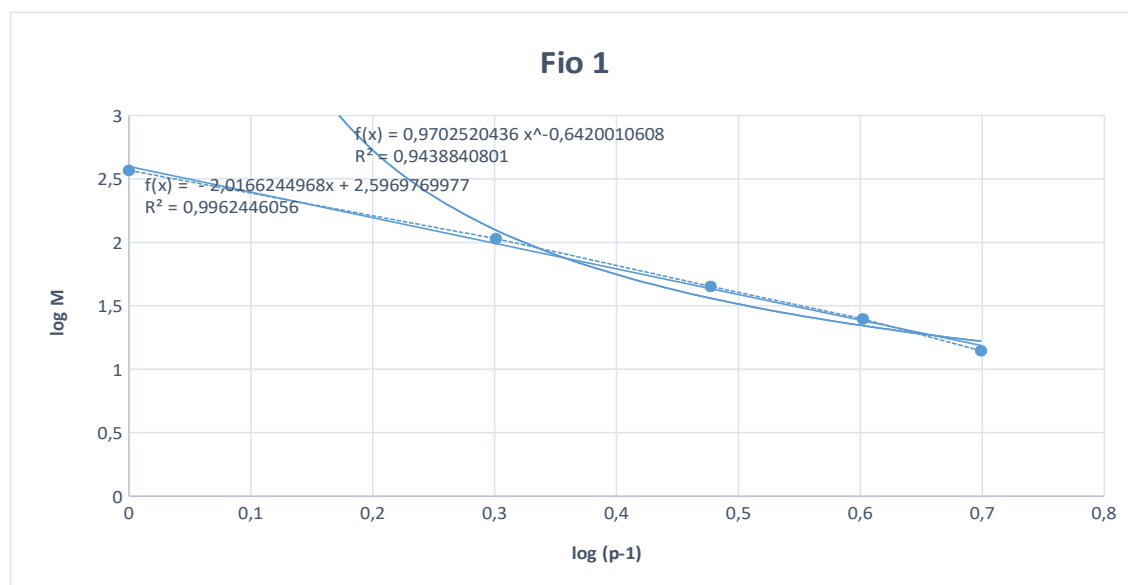
**3ª parte**

**Densidade linear**

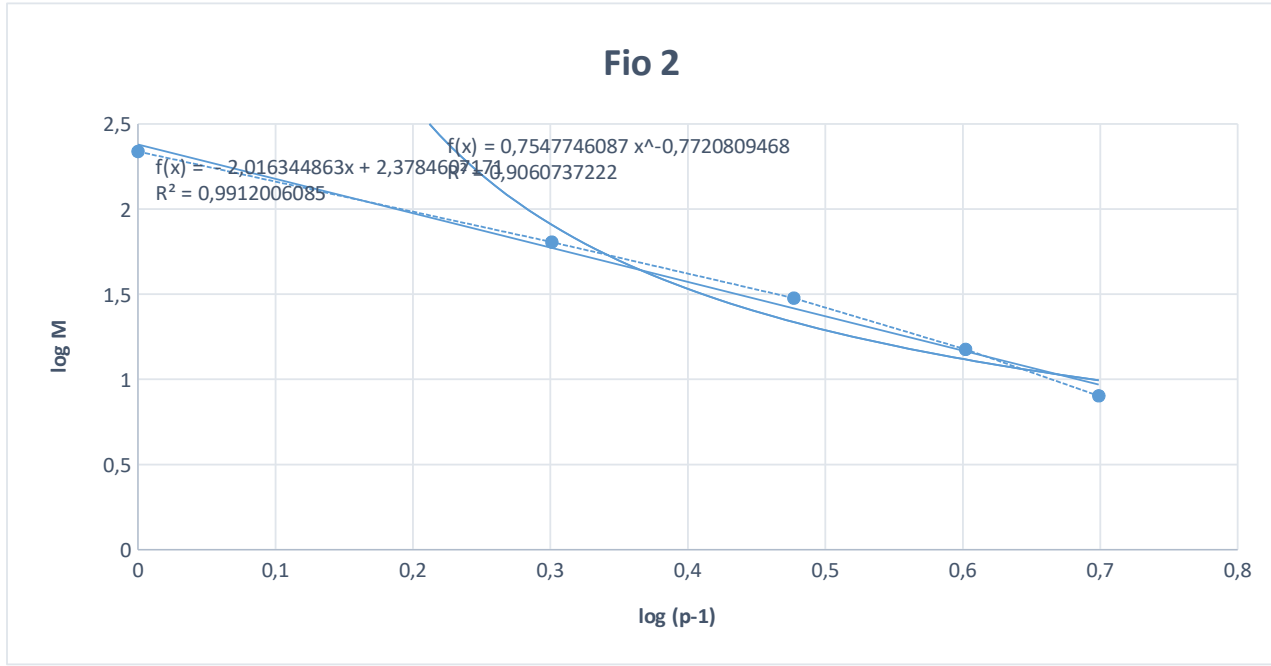
**Tabela 3- valores de massa e comprimento dos fios**

fio	massa do fio (g)	comprimento do fio (m)
1	1,1218	1,866
2	0,6605	1,845
3	0,4039	1,945

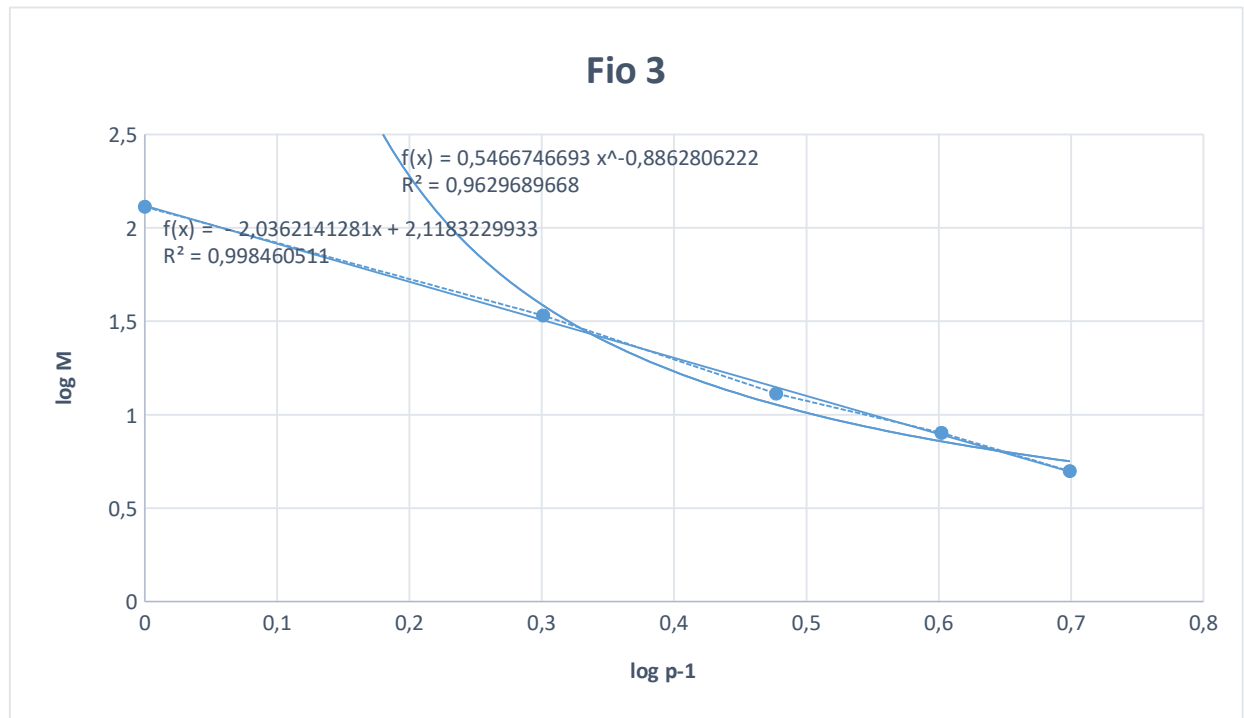
p-1	M
0	2,567
0,30102	2,029
0,47712	1,653
0,60205	1,397
0,69897	1,146



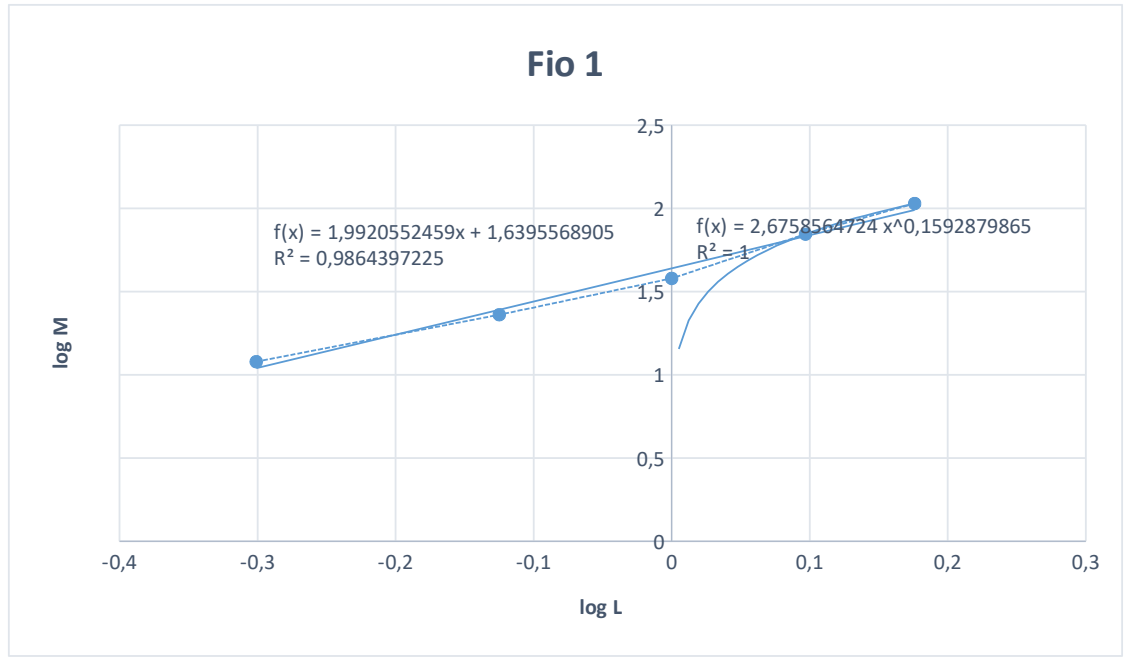
p-1	M
0	2,338
0,30102	1,806
0,47712	1,477
0,60205	1,176
0,69897	0,903



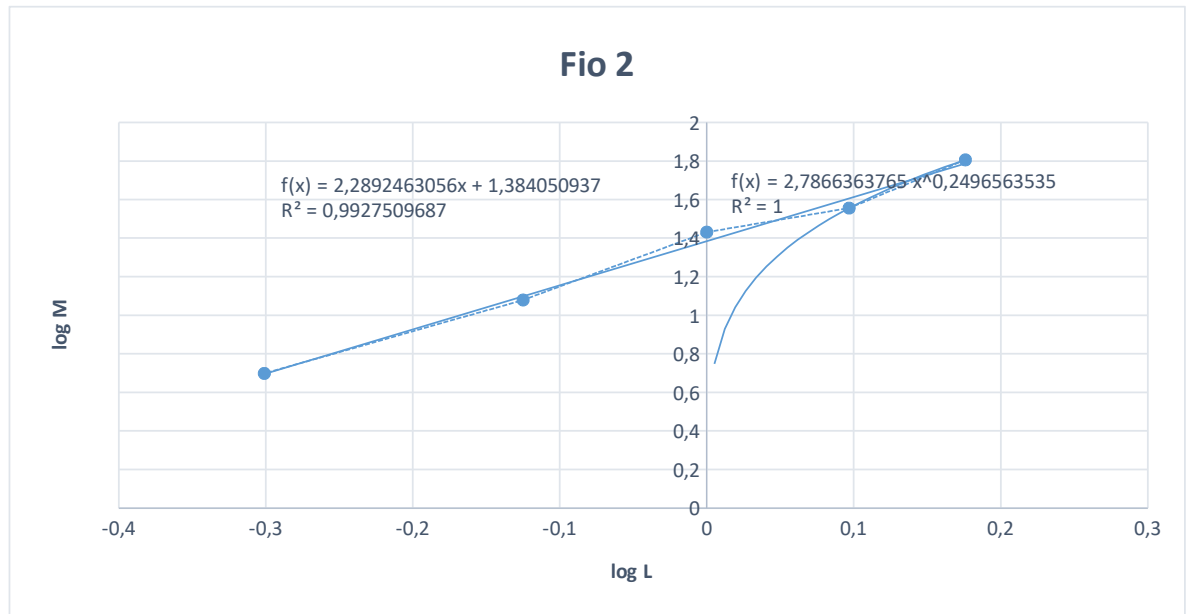
p-1	M
0	2,113
0,30102	1,531
0,47712	1,113
0,60205	0,903
0,69897	0,698



L	M
0,176	2,029
0,0969	1,845
0	1,579
-0,1249	1,361
-0,301	1,079



log L	log M
0,176	1,806
0,0969	1,556
0	1,431
-0,1249	1,079
-0,301	0,698



log L	log M
0,176	1,531
0,0969	1,255
0	1,079
-0,1249	0,698
-0,301	0,301

